

Criterio di Nyquist

Permette di studiare la stabilità senza il calcolo esplicito degli autovariori (e soprattutto senza ricorrere a Routh)

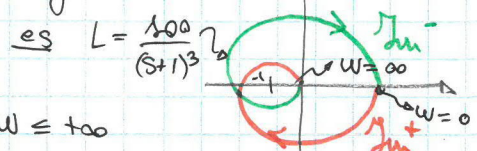


Diagramma di Nyquist: rappresentazione $G(j\omega)$ per $-\infty \leq \omega \leq +\infty$

In pratica disegno il diagramma polare anche per i ~~se~~ settori semiassi Im^+ .

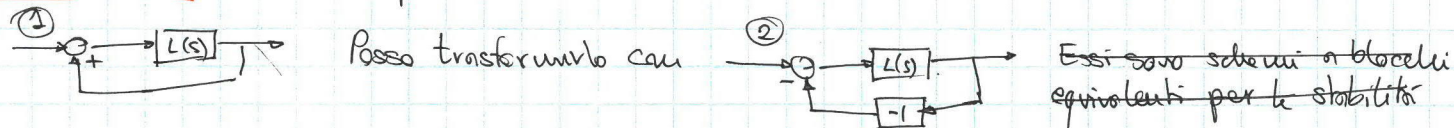
Basta tracciare il ~~diagramma~~ complesso coniugato del diagramma polare Im^+ . Già viene fatto con l'invertire (specchiare) il diagramma polare rispetto all'asse x .

Il criterio di Nyquist: H_p : la presenza di sis retroazionanti negativamente

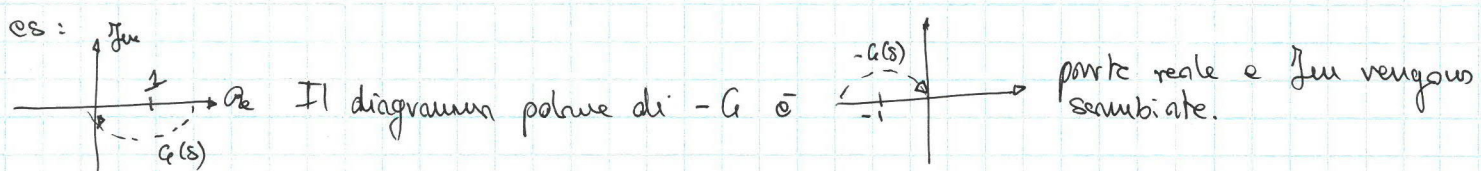
$p = \text{n}^\circ \text{ di poli instabili di } L(s)$ $n = \text{n}^\circ \text{ di giri del diagramma di Nyquist attorno al pto } -1$
contati positivi se in senso antiorario. \rightarrow

Abbiamo una condiz necessaria e suff di AS del sis retroazionario: $n = p$ con n ben definito

Esempio 1: retroazione positiva



Per la stabilità ② è equivalente a ③



Allora il n° di giri che $-G(s)$ compie attorno a -1 equivale al n° di giri che G compie attorno a 1 .

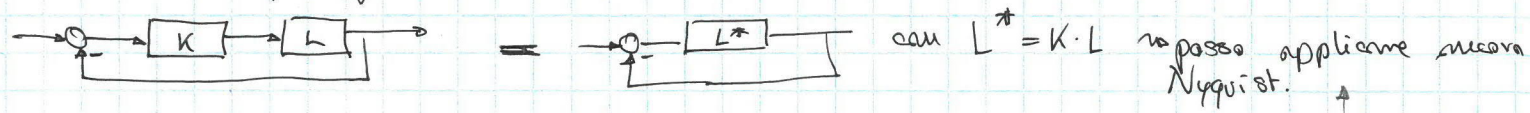
Allora per la retroazione positiva dati:

il diagramma di Nyquist di G

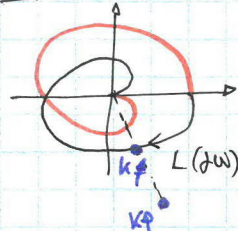
N è il n° di giri antiorari attorno a $1 \rightarrow \text{AS} \Leftrightarrow \begin{cases} n \text{ ben definiti} \\ n=p \end{cases}$

P è il n° di poli di G con $\text{Re} > 0$

Esempio 2: "guadagno ad anello"

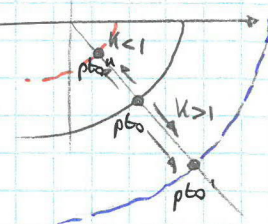


es

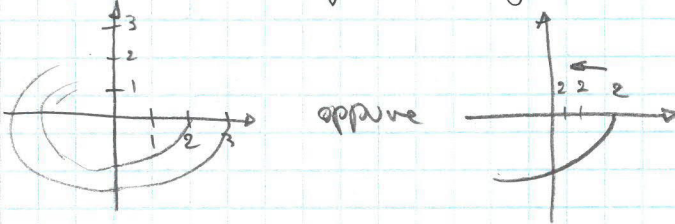


Se $K > 1$ sposta il pto del diagramma lungo il raggio
 in pratica "gatfia" il diagramma

Se $0 < K < 1$ "restringe" il diagramma



Potrei moltiplicare per K in un'area grafica senza cambiare gli assi, oppure posso tenere fisso il disegno e "immaginare" di cambiare la scala degli assi.



Il mio interesse è vedere cosa succede attorno

Riformula il criterio

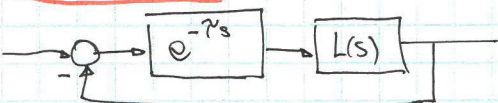
$0 < K < \infty$: Γ diagramma di Nyquist di $L(s)$ (Nb: $w_0 \in \Gamma^*$)

Nel n^o di giri antiorari di Γ intorno a $-1/K$ (dovuto al rigonfiamento)

Più n^o di poli con $\operatorname{Re} s > 0$ di $L(s)$

Allora AS $\Leftrightarrow \begin{cases} N \text{ ben definito} \\ N = P \end{cases}$

Estensione 3: "ritorno ad quello" • Γ diag di $e^{-T_s} L(s)$

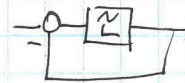


• n^o di giri di Γ attorno -1

• $p n^o$ di poli di $L(s)$ con $\operatorname{Re} s > 0$

STABILITÀ $\Leftrightarrow \begin{cases} \text{def} \\ u=p \end{cases}$

Stabilità robusta

Modello nominale: la migliore descrizione della realtà che ho deciso di usare \rightarrow 

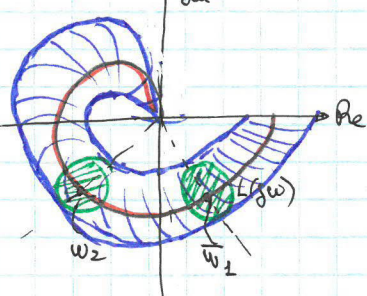
$\xrightarrow{y^o} Q \rightarrow [L] \rightarrow H_p$: il sis nominale è AS in questo chiuso

Obiettivo: dare degli indicatori che quantificano quanto posso aspettarmi da un AS valga

anche com il sis vero.

$$\tilde{L}(s) = \underbrace{\underline{L}(s)}_{\text{sis vero}} + \underbrace{f(L(s))}_{\text{sis nominale}} \quad \text{assumendo } |f(L(s))| \leq \Delta(s) \text{ quindi il suo modulo è limitato entro un valore limite } \Delta(s) \text{ (prò variazione in funzione di } s \text{ vedi al fine in blu che si riempie col liceo)}$$

Cosa succede al diagramma polare? Il cerchio verde attorno a w_0 è quello che mi indica la "variazione" del diagramma attorno ad un valore w_0 fissato.
raggio cerchio \uparrow incertezza



Potrei fare lo stesso discorso per tutti gli w e mi ritrovo una regione dello spazio nel piano complesso

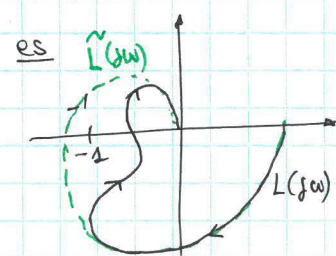
Passo da 1 curva sola ad una famiglia di curve.

Se voglio essere sicuro che il sis sia robustamente stabile

Il criterio deve essere soddisfatto su tutte le curve

Consideriamo il caso in cui:

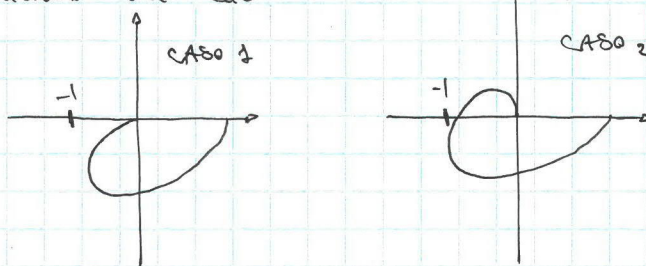
- modello nominale AS
- $L(s)$ non ha poli con $\operatorname{Re} s > 0$
- $\tilde{L}(s)$ non ha poli con $\operatorname{Re} s > 0$ $\forall \delta L$



Se faccio variazione $\tilde{L}(s)$ a tal punto da "scavalcare" -1, allora abbiamo l'instabilità.

Più ci avviciniamo umanamente a -1, più è probabile che l'incertezza faccia scavalcare $\tilde{L}(s)$.

Vediamo dei casi:

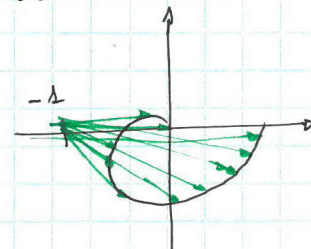


Il caso 1 è meglio del caso 2 perché ci vuole incertezza maggiore per destabilizzare il sistema.

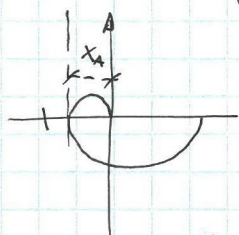
Il caso 1 è più robusto.

Indice di robustezza 1) Margine di stabilità vettoriale

$$d = \min_w |1 + L(jw)| = \text{minima distanza tra } -1 \text{ e } L(jw)$$



Indice 2) Margine di guadagno



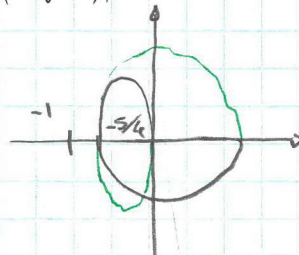
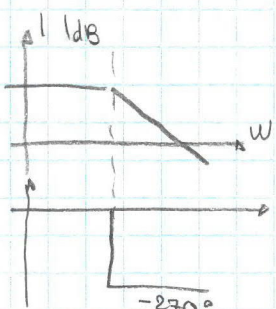
$$K_m = \frac{1}{x_A} \quad \omega_{\pi}: \angle [L(j\omega_{\pi})] = -180^\circ$$

$$x_A = |L(j\omega_{\pi})|^{\dagger} \quad K_m = \frac{1}{|L(j\omega_{\pi})|} = -|L(j\omega_{\pi})|_{dB}$$

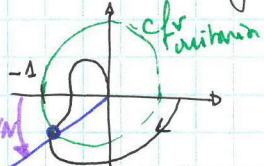
es

$$L(s) = \frac{10}{(1+s)^3} \quad \angle L(j\omega_{\pi}) = -180^\circ = -3 \arctg(\omega_{\pi}) \quad \omega_{\pi} = \tan(60^\circ) = \sqrt{3} \text{ rad/s}$$

$$K_m = \frac{1}{|L(j\omega_{\pi})|} = \frac{(\sqrt{1+3})^3}{10} = \frac{6}{5} < 1$$



Indice 3) Margine di fase



$$\omega_c: |L(j\omega_c)| = 1$$

$$\varphi_c: \angle [L(j\omega_c)] \quad \varphi_m = 180^\circ - |\varphi_c|$$

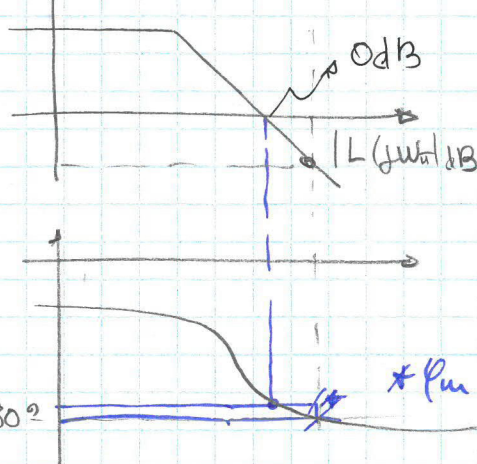
Margine di fase: rappresenta robustezza ai ritardi in anello $\tilde{L}(s) = e^{-sT} L(s)$

$$\text{es } L(s) = \frac{10}{(1+s)(1+2s)} \quad |L(j\omega)| = 1 = \frac{10}{(1+j\omega)(2+j\omega)} \quad \sqrt{1+\omega^2} \sqrt{4+\omega^2} = 10$$

$$4\omega^4 + 5\omega^2 + 1 = 100 \quad \omega_c \Rightarrow \omega_c \approx 2,09 \quad \tilde{\omega} = \omega^2 \quad \varphi_c = -\arctg(\omega_c) - \arctg(2\omega_c) = -64,5^\circ - 74,6^\circ = -141,11^\circ$$

$$\varphi_m = 180^\circ - 141,1^\circ = 38,9^\circ > 0$$

Vediamo un esempio con il diag. Bode

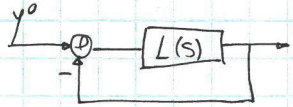


Vedo graficamente $K_m = -|L(j\omega_m)|_{dB} > 1$

il margine di fase è la sottrazione di 180° e della fase con guadagno 0dB

Criterio di Nyquist

È spesso molto difficile tracciare un diagramma di Nyquist. Perciò ci affidiamo ad un criterio che sfrutta i diagrammi di Bode



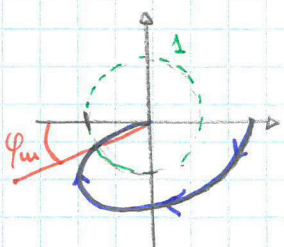
Condizione di applicabilità

$$1) P=0$$

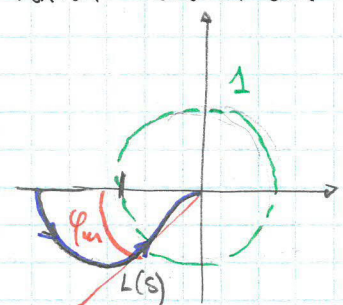
2) Il diagramma di Bode di $L(s)$ taglia l'asse a 0dB una sola volta, e questo taglio avviene all'alto verso il basso (\circ con pendenza negativa, es. -20 dB/dec)

Allora possiamo dire che A_S in questo caso $\Leftrightarrow \begin{cases} \mu > 0 \\ \phi_m > 0 \end{cases}$ (guadagno generalizzato di $L(s)$)

Dm: Sappiamo per Nyquist che $P=0 \Leftrightarrow n=0$. Il taglio unico, tradotto nel diagramma polare, vuol dire che io entro nella cfr di modulo 1 una sola volta. Sono in una condizione del tipo:

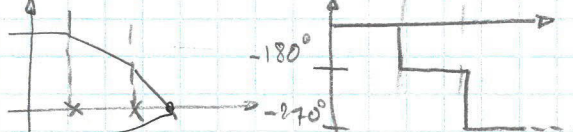
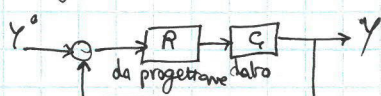


Ho bisogno di $\mu > 0$ perché potrei ritrovarmi nella condizione a destra:
Se devo il diagramma, ho già attorno a -1 e ciò non va bene per il crit. Bode.



Il nostro obiettivo è progettare il sis di controllo, in cui R è il blocco da progettare

AI fini della stabilità, abbiamo visto che ci interessa $L(s) = R \cdot G$



Vediamo un solo taglio e la fase probabilmente sarà $> 180^\circ$ quindi $\phi_m > 0$ e $\mu > 0$ perché parto con fase 0. Perciò se questo esempio in questo caso è A_S , per noi è molto robusto, siamo vicini all'instabilità.

Per migliorare fin posso "traslare" il grafico verso il basso, diminuendo il guadagno.

Oppure posso mettere uno zero per guadagnare 20 dB/dec e recuperare 30°.

La divisione del gradino nel diagramma polare equivale allo "sgomfiamento" della caratteristica. Con la zero è più difficile.

I diagrammi di Bode sono più facili e precisi da tracciare dei diagrammi polari.

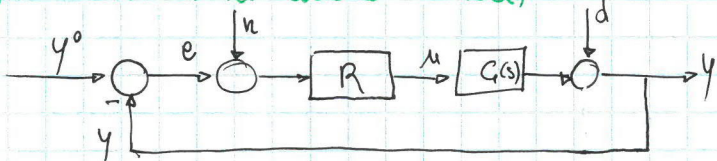
Corollario sul criterio di Bode: Criterio di Bode per sis a fase minima.

- $\mu > 0$ è verificato automaticamente
 - forte legame tra bode modulo e fasi

AS. stabile \leftarrow se il diagramma di Bode del wadolo taglia l'asse OdB con sola
in ampiezza chiuso
Volta con pendenza -20 dB/dec

Infatti per avere il taglio -20 dB/dec , prima della WadB ho un polo in più di tutti gli altri zeri. Questi poli e zeri sono tutti con $\Re z < 0$ perché saranno in un sis a fase minima. Il polo residuo fornirà sfasamento di 90° quindi abbiano automaticamente un buon margine di fase.

Prestazioni in ambito clinico



Il regolatore R è affetto all'ingresso da disturbo n che si somma all'errore e
 Abbiamo un ulteriore disturbo. n = rumore di misura d = disturbo → casualmente sono molto diversi. Matematicamente sono due ulteriori ingressi

non è "un'illusione" di misura, legato al senso che può avere un offset di misura, una reale

Il disturbo "d" invece è una condizione reale che agisce sul sistema nella realtà.

(es: $\gamma =$ offset del teodolite che misura 18° invece di 20° ; d = finestra aperta \Rightarrow si possa vedere anche da 18° a 20°)

Abbiamo 3 ingressi (y^i, n, d) e 3 uscite (y, e, u)

$$S(s) = \frac{1}{1 + \text{RG}} = \frac{1}{1 + L} \text{ rispetto a day}$$

Audiamo a calcolare le FdT rispetto ai vari ingressi e varie uscite (prendo due pti dello schema abbondi)

$\rightarrow S(s) = \frac{1}{1+s}$ rispetta a $y^0 \rightarrow e$

$S(s) = \frac{1}{1+s}$ rispetta a $-d \rightarrow c$

$\frac{1}{1+L}$ è detta "funzione di sensibilità"

$$D_n \quad y^o \rightarrow y \quad F(s) = \frac{AC}{s+AC} = \frac{L}{1+L} \quad \text{no funzione di sensibilità couple mentone}$$

Ed infine $\left. \begin{array}{l} y^o \rightarrow M \\ u \rightarrow M \\ -d \rightarrow M \end{array} \right\} Q(s) = \frac{R}{1+RG} = \frac{R}{1+L}$ « funzione di sensibilità del controllo »

Vediamo: $S(s) + F(s) = \frac{1}{1+L} + \frac{L}{1+L} = 1$ » S e F sono complementari perché si sommano

L'errore risulta essere (per la sovrapposizione degli effetti)

$E(s) = S(s) \cdot Y(s) - S(s) \cdot D(s) - F(s) \cdot N(s)$, per questo essere si vuole avere un piccolo errore \rightarrow

$\|E(s)\| \ll 1$ considerando y^o e n qualsiasi per fare piccolo E , ~~ma~~ possa fare piccoli S e F , un $S+F=1$ perché sono complementari. Dopo bilanciare S e F per avere un compromesso. S descrive l'effetto della variazione di un disturbo, mentre F mi dice quello della misura.

Se $S+F=1 \iff S(j\omega) + F(j\omega) = 1 \quad \forall \omega$

Quindi a frequenza, dopo bilanciare le due sensibilità, in base alle specifiche di progetto

Precisione statica ($t \rightarrow \infty$)

Staticamente, S e F sono di mio interesse. Q non è molto utile.

Staticamente il valore di u è determinato da G e uno da R , perciò studiamo le altre funzioni.

1) Studio $S(s)$ $y^o = \frac{A}{s^r} \quad E(s) = S(s) \cdot \frac{A}{s^r} = \frac{1}{1+L(s)} \cdot \frac{A}{s^r}$

$$\lim_{t \rightarrow \infty} c(t) = \lim_{s \rightarrow 0} s E(s) = \lim_{s \rightarrow 0} s \cdot \frac{1}{1+L(s)} \cdot \frac{A}{s^r} \quad \text{in cui } L(s) = \frac{1}{s^g} \frac{\prod_{i=1}^n (1+sT_i)}{\prod_{i=1}^m (1+s\zeta_i)} \cdot \frac{\prod_{i=1}^n \left(\frac{s^2}{\omega_i^2} + \frac{2\beta_i s}{\omega_i} + 1 \right)}{\prod_{i=1}^m \left(\frac{s^2}{\omega_i^2} + \frac{2\zeta_i s}{\omega_i} + 1 \right)}$$

convergerà a 1 per $s \rightarrow 0$

Perciò semplifico e ottengo $c_\infty = \lim_{s \rightarrow 0} \frac{1}{1+\frac{1}{s^g}} \cdot \frac{A}{s^{r-1}}$

Esempi

$r=1 \quad y^o = A \sin(t) \quad c_\infty = \lim_{s \rightarrow \infty} \frac{s^g}{s^g + \mu} \cdot A \begin{cases} g=0 & c_\infty = \frac{A}{1+\mu} \\ g \geq 1 & c_\infty = 0 \\ g < 0 & c_\infty = A \end{cases}$

$r=2 \quad y^o = A \text{ rampalt} \quad c_\infty = \lim_{s \rightarrow \infty} \frac{s^g}{s^g + \mu} \cdot \frac{A}{s^1} \begin{cases} g < 1 & c_\infty = \infty \\ g = 1 & c_\infty = A/\mu \rightarrow \text{integrazione} \\ g \geq 2 & c_\infty = 0 \quad \rightarrow \text{doppio o int} \end{cases}$

$S(s)$ a regime è tc per cui:

1) Il comportamento di c_∞ dipende solo da μ, g, A

2) per avere $c_\infty \rightarrow 0$ è necessario che $g \geq r$

Oss: con lo scalino, possiamo mettere un integratore per avere errore 0.

Ci aspettiamo però complicazioni della $F(s)$. Sarebbe meglio un integratore, ottenendo $g=0 \rightarrow e \propto = \frac{A}{s+L}$ riducendo l'errore con L abbastanza grande invece di un int.

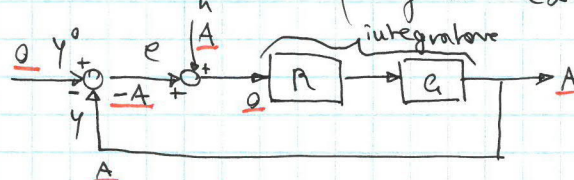
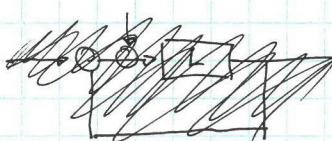
2) Studio $F(s)$ ($n \rightarrow e$) $N(s) = \frac{A}{s^r} \quad E(s) = \frac{L}{s+L} \cdot \frac{A}{s^r}$

$$e_{\infty} = \lim_{t \rightarrow \infty} e(t) = \lim_{s \rightarrow 0} s \cdot E(s) = \lim_{s \rightarrow 0} s \cdot \frac{A/s^r}{1 + L/s} \cdot \frac{A}{s^r}$$

es

$$r=1 \quad n(t) = A \sin(t) \quad e_{\infty} = \lim_{s \rightarrow 0} \frac{A \cdot 1}{1 + s^1} \begin{cases} \text{se } g=0 & e_{\infty} = A/\mu_{\mu+1} \\ \text{se } g \geq 1 & e_{\infty} = A \\ \text{se } g < 0 & e_{\infty} = 0 \end{cases} \quad \rightarrow \text{caso opposto rispetto a prima, abbiamo la complementarietà tra } S(s) \text{ e } F(s)$$

Vediamo un'oss:



Vedendo a transitorio esaurito abbiamo:

$g=1 \rightarrow$ integratore - AS stab. in questo caso \rightarrow tutti i segnali perciò convergono ad un valore

Ma abbiamo un integratore puro, se voglio l'uscita stabile, l'ingresso dovrà per forza essere zero (se fosse un costante l'uscita sarebbe ~~costante~~ la costante integrata quindi diventa zero).

Per avere zero errore avere $y = A$, quindi $n = A$ che somma ed entrante su R , divenuta zero. Il rumore di misura viene scambiato come riferimento. Non siamo infatti in grado di separare la frequenza del rumore dal riferimento.

Se il progetto è fatto bene, il rumore risultante sarà senza componenti a bassa freq.

Oss: l'integratore è dinamico, devo tenere conto della storia passata, se uno fosse così potrei avere delle transizioni in alto. Infatti si sta studiando un equilibrio dovuto per effetti precedenti, ecco perché y vale "unicamente" A , perché se uno fosse così non saremmo più in situazione di equilibrio.

I diversi casi possono essere riassunti in delle tabelle:

φ_{∞}	ϑ	0	1	2
$y^*(s)$	$\frac{A}{s}$	$\frac{A}{1+\mu}$	0	0
	$\frac{A}{s^2}$	00	$\frac{A}{\mu}$	0
	$\frac{A}{s^3}$	00	00	$\frac{A}{\mu}$

Oss: nella realtà gli ingressi a parabola non vengono mai utilizzati.

φ_{∞}	ϑ	0	1	2
$N(s)$	$\frac{A}{s}$	$\frac{A \cdot \mu}{\mu + 1}$	A	A
	$\frac{A}{s^2}$	00	00	00
	$\frac{A}{s^3}$	00	00	00

Oss: gli ae sono dovuti a dei derivatori, puri essi in realtà ignorano sia l'errore di misura ma ignorano anche i riferimenti stessi, ammissibili.

Ecco fatto tutto il necessario per avere la precisione statica date alcune condizioni specifiche di progetto. Oss: per progettare il sis di controllo ha bisogno di indicazioni su cosa aspettarci come ingresso

Precisione dinamica

Mi interessano le risposte in frequenza delle sensibilità $S(j\omega)$, $F(j\omega)$, $Q(j\omega)$

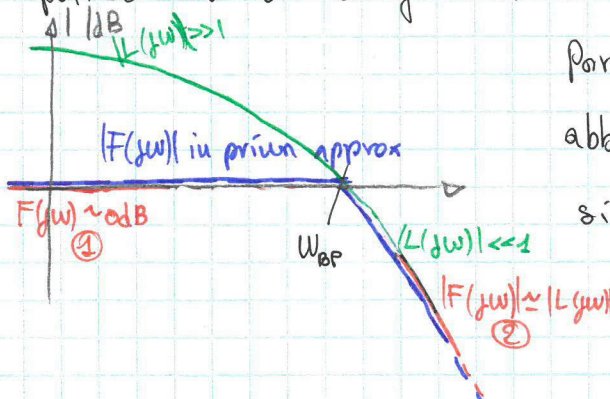
Funzione di sensibilità complementare

$$F(s) = \frac{L(s)}{1+L(s)} \quad \begin{cases} y^* \rightarrow y \\ -n \rightarrow y \\ -n \rightarrow e \end{cases} \quad F(j\omega) = \frac{L(j\omega)}{1+L(j\omega)} \quad \text{Studiamo il modulo}$$

$$|F(j\omega)| = \frac{|L(j\omega)|}{|1+L(j\omega)|} \approx \begin{cases} \textcircled{1} & \text{se } |L(j\omega)| \ll 1 \quad |F(j\omega)| = |L(j\omega)| \quad (|1+L(j\omega)| \approx 1) \\ \textcircled{2} & \text{se } |L(j\omega)| \gg 1 \quad |F(j\omega)| = 1 \quad (|1+L(j\omega)| \approx |L(j\omega)|) \end{cases}$$

approssimazione
a poli dominanti

Ipotizziamo un diagramma di Bode del modulo e di $F(j\omega)$:



Portando agli estremi ① e ②, mi posso fare un'idea abbastanza precisa sulla forma di $F(j\omega)$ che, da come si vede, ha la forma di un passa-basso (tratto blu).

W_{bp} : frequenza di "Banda Passante"

Si nota che $\omega_{BP} = \omega_c$ perché $L(s)$ taglia l'asse dB

Vogliamo analizzare cosa succede nell'intorno di ω_{BP}

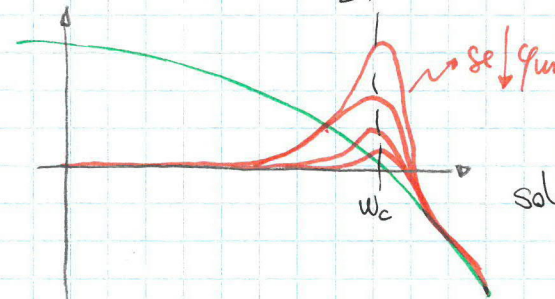
$$|F(j\omega_c)| = \frac{|L(j\omega_c)|}{|1 + L(j\omega_c)|} = \frac{1}{|1 + 1 \cdot \text{e}^{j\phi_c}|} = \frac{1}{|1 + \cos\phi_c + j\sin\phi_c|} = \frac{1}{(1 + \cos^2\phi_c + \sin^2\phi_c)^{1/2}} =$$

$$\frac{1}{\sqrt{2 + 2\cos\phi_c}} = \text{dalla trigonometria } \cos(\alpha) = -\cos(180^\circ - \alpha) \quad \cos(2\alpha) = 1 - 2\sin^2\alpha$$

$$\cos\alpha = 1 - 2\sin^2\frac{\alpha}{2} \quad \text{socche } \phi_m = 180 - |\phi_c|$$

$= \frac{1}{\sqrt{2(1 - \cos\phi_m)}}$ solo nel caso in cui $\phi_m > 0$ (secondo il criterio di Bode, vuol dire in senso
analizzare le prestazioni per sist inst ($\phi_m < 0$))

$$= \frac{1}{\sqrt{2(1 - 1 + 2\sin^2\frac{\phi_m}{2})}} \quad |F(j\omega_c)| = \frac{1}{2\sin(\frac{\phi_m}{2})} \rightarrow \text{una mma che qui diminuisce il modulo si modifica em:}$$



In priun approx avevamo un passo basso, ora

otteneremo in seconda approx una risonanza dettata

solo dal margine di fase (invece di 1 polo ho due poli)

$$\text{Considero un } \tilde{F}(j\omega) = \frac{\omega_c^2}{s^2 + 2\xi\omega_c s + \omega_c^2} \quad \text{cerco una } \xi \text{ tale per cui } |\tilde{F}(j\omega_c)| = |F(j\omega_c)|$$

Cerco una Fdt del secondo ordine che approx bene la funzione di sensibilità

complementare vicino al pto ω_c .

$$|\tilde{F}(j\omega_c)| = \left| \frac{\omega_c^2}{s^2 + 2\xi\omega_c s + \omega_c^2} \right| = \frac{1}{2\xi} = \frac{1}{2\sin\frac{\phi_m}{2}} \rightarrow \xi = \frac{\phi_m}{2} \sqrt{\frac{u}{180^\circ}}$$

$$\xi \approx \frac{\phi_m}{100} \quad \text{espresso in gradi}$$

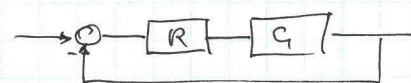
$$\tilde{F}(j\omega) = \frac{\omega_c^2}{(j\omega_c)^2 + 2\xi\omega_c j + \omega_c^2} = \frac{\omega_c^2}{-\omega_c^2 + \omega_c^2 + 2\xi\omega_c^2 j}$$

Se $\phi_m > 75^\circ$ la risposta allo scalino di $F(s)$ vuol dire oscillazioni $\Rightarrow T_{Ass} = 5/\omega_c$

Se $\phi_m < 75^\circ$ " " " " mutue oscillazioni $\Rightarrow T_{Ass} = 5/\xi\omega_c$

$$T_{osc} = \frac{2\pi}{\omega_c \sqrt{1 - \xi^2}} \quad S := 100, e^{-\frac{5\pi}{\sqrt{1 - \xi^2}}}$$

esempio



Cu $R=1$ abbiamo sis As

Cu $R=0$, sabbiamo instabilità un \rightarrow velocità

$$\text{Se } \varphi_m > 75^\circ \quad T_{Ass} = \frac{5}{\omega_c}$$

$$\text{Se } \varphi_m < 75^\circ \quad T_{Ass} = \frac{5}{\omega_c \zeta}$$

Penso $\uparrow \omega_c$ (alzare il guadagno) per avere $\uparrow T_{Ass}$, ma se $\uparrow \omega_c$ troppo, rischio di ricadere $\varphi_m < 75^\circ$ e quindi diminuire la stabilità e introdurre oscillazioni.

Una modifica del sis RG ci permette di fare "stime" di cosa succede in questo caso.

Funzione sensitività

$$|S(j\omega)| = \frac{1}{|1+L(j\omega)|} = \begin{cases} \frac{1}{|F(j\omega)|} & \text{se } |L(j\omega)| \gg 1 \\ 1 & \text{se } |L(j\omega)| \ll 1 \end{cases}$$

$S(j\omega)$ è invertito per $|L(j\omega)|$ perché in dB il reciproco corrisponde al segno negativo. Abbiamo un passo alto

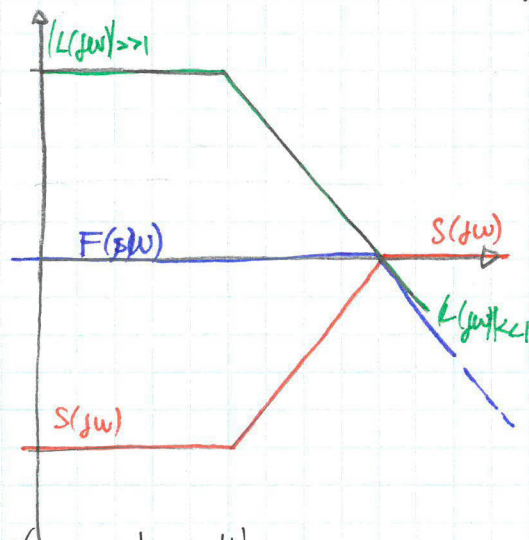
Ci piace che sia passo alto perché S è legato a $y_o \rightarrow e$, $d \rightarrow e$, $d \rightarrow y$

Qui si minimizza il disturbo su errore e uscita e il riferimento sull'errore.

Però vedo che la reiezione è limitata in base alla banda di L

Guardando $F(j\omega)$ ($y_o \rightarrow y$, $u \rightarrow y$, $n \rightarrow e$), per avere un buon riferimento seguimento del riferimento nella banda passante, un sono allo stesso tempo più sensibili all'errore a causa dell'influenza di u sull'uscita e l'errore.

Se u ha componenti armoniche che finiscono in banda, abbiamo la riflessione di ciò direttamente in y . Se sono armoniche HF, ha più reiezione.

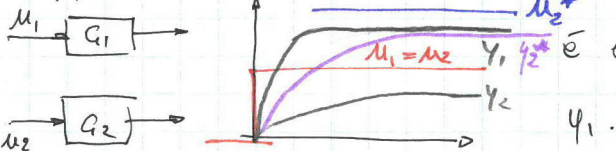


Funzione di sensibilità del controllo

$$Q = \frac{R}{1+RC} = \frac{R}{1+RC} \cdot \frac{G}{G} = F \cdot G^{-1} \quad Q(j\omega) \approx \begin{cases} 1/(G(j\omega)) & \omega \ll \omega_c \\ |R(j\omega)| & \omega \gg \omega_c \end{cases}$$

($y^* \rightarrow u$, $u \rightarrow y$, $-d \rightarrow u$)

Supponiamo ora due funzioni G , con guadagni diversi M_1 e M_2

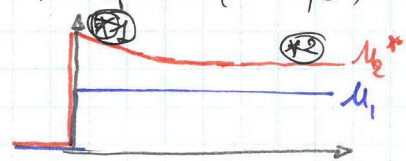


Ora tengo fisso y_1 e cerco di far muovere y_2 come y_1 (voglio accelerarlo)

Bisognerà quindi cambiare l'ingresso. Ho bisogno quindi di u_2^* più ampio di u_1 .

y_2 verrà quindi scritta verso l'alto, un non sto raggiungendo la stessa risposta (vedi y_2^*)

Dovrò applicare un ingresso un po' sotto forma di scalino



Se mi ricordo ad un caso in cui le risposte sono simili,

posso fare delle analisi. es: l'auto che, per avere le stesse prestazioni dell'auto 1, dovrà consumare più carburante $\textcircled{2}$ all'infinito, ma dovrà immettere ancora più carburante alla partenza $\textcircled{1}$.

Sapendo che G è fisso, il controllore deve compensare ciò che vuole G , quindi l'impatto della sua azione di controllo è situato al "consumo" di ingresso.

E se un u_2^* ho un overboost rispetto a u_2 , quindi devo avere per forza un costo. (Oss: rallentando u_2 posso decidere di rallentare ulteriormente il sistema - meno consumi)

es: accelerazione ottimale di un braccio meccanico. Se tiro un impulso iniziale per fare muovere velocemente il braccio, posso fare danni meccanici o la coppia che impone un po' essere soddisfatta dal motore \rightarrow azione in risposta più lenta

Il mio obiettivo è accelerare la risposta di G , quindi progetto R in modo che

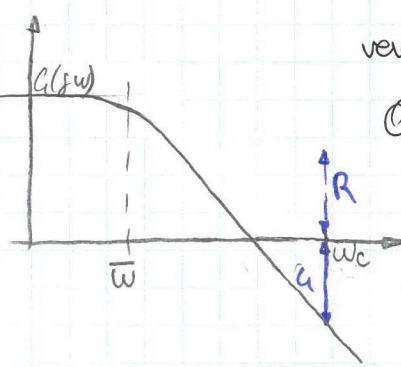
vegga spostata $\bar{\omega}$ fino a raggiungere una ω_c voluta.

Quanto dovrà valere R per avere $\bar{\omega} = \omega_{crit}$?

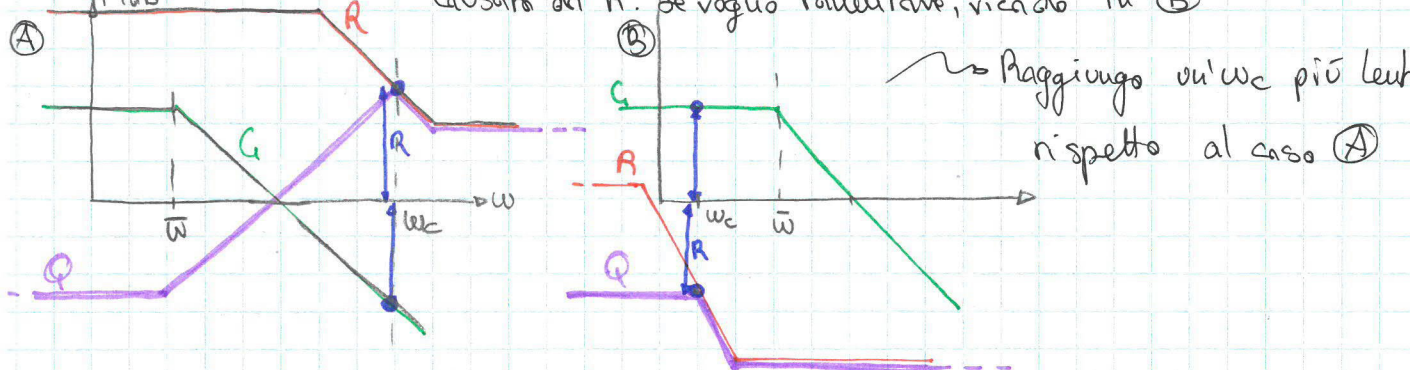
$L = R G$ quindi ho bisogno che per $\omega = \omega_c$ ho bisogno

che R sia l'opposto di G per compensare la caratteristica

Posso quindi amplificare senza poli o zeri così da trasformare la caratteristica.



Nella bassa frequenza, se ho un gerardo un'aggiore migliore la sensibilità complementare posso ipotizzare un R: se a 80 dB (A) abbiamo un Q conseguente all'accorciamento della risposta causata da R. Se voglio rallentare, ricado in (B)



Per HF: nel caso (A) Q amplifica le HF \rightarrow eccitazione un'aggiore della variabile controllata
 nel caso (B) Q filtra ulteriormente le HF \rightarrow eccitaz. minore per u
 (OSS caso (A): ha addirittura un picco di eccitazione per le HF oltre che amplif. normale)

Generalmente: se voglio qualcosa di performato lo progetto instabile ad anello aperto e lo stabilizzo in retroazione (OS: aereo militare da caccia, amplificatore con buon stabilità (vedi FdE))

OS

$$R = \frac{1}{s} \quad C = \frac{1}{(0,1s+1)^2} \quad y^0 = L \text{ ramp}(t) \quad u = 0,1 \sin(\bar{\omega}t)$$

$$\dot{u} = 2 \sin(\bar{\omega}t) \quad \bar{\omega} = 0,1 \text{ rad/s} \quad L(s) = \frac{1}{s} \cdot \frac{1}{(0,1s+1)^2} \rightsquigarrow \text{Boole:}$$

$$M = 1 \quad g = 1 \quad \text{poli 10 rdd/s (2 poli stabili)}$$



1) Calcolo errore a regime

$$E_{y^0} = S(s) \cdot \frac{L}{s^2} \quad \text{in } w_i \quad S(s) = \frac{1}{1+L} = \frac{1}{1 + \frac{1}{s(0,1s+1)^2}} =$$

$$= \frac{s(0,1s+1)^2}{s(0,1s+1)^2 + 1} = \frac{s(0,1s+1)^2}{0,01s^2 + 0,2s^2 + s + 1}$$

$$E_{y^0} = \frac{4(0,1s+1)^2 \cdot 4}{s^2(0,1s^3 + 0,2s^2 + s + 1)}$$

$$E_{y^0\infty} = \lim_{s \rightarrow 0} E_{y^0} \cdot s = \frac{4(0,1s+1)^2}{0,01s^3 + 0,2s^2 + s + 1} = 4$$

Effettua $E_u = F(s) \cdot \frac{0,1}{s} = \frac{1}{(s(0,1s+1)^2 + 1)} \cdot \frac{0,1}{s} \quad E_{u\infty} = 10,1$

$$E_d = S(s) \cdot D(s) \quad d(t) \rightarrow 2|S(j\bar{\omega})| \sin(\bar{\omega}t + \angle[S(j\bar{\omega})])$$

① $S(j\bar{\omega}) = \frac{1}{1 + L(j\bar{\omega})} \approx \frac{1}{\bar{\omega}} \quad 0,1 \quad$ guardando il diagramma di boole \Rightarrow primi approx

② $S(j\bar{\omega}) = \frac{1}{1 + L(j\bar{\omega})} \approx \frac{1}{1+1} \quad \Rightarrow$ secondo appross

③ $S(j\bar{\omega}) = \frac{1}{1 + L(j\bar{\omega})} \Rightarrow$ calcolo il modulo amplificante $\rightarrow \frac{1}{\sqrt{101}}$

Progetto di un sistema di controllo

Sintesi del regolatore

Problema) Ante: $G(s)$ e andamenti presenti y^o , d , n

→ Si vuole progettare R tc in quello chiuso valgano determinate proprietà (che corrispondono alle prestazioni).

Specifiche (Requisiti)

1) Stabilità in quello chiuso in condizioni nominali

2) Stabilità robusta (in condizioni perturbate): criterio di Nyquist

Criterio di Bode → $\mu > \bar{\mu}$ \Rightarrow determinanti valori $K_m > K$

Assumo che il crit. Bode sia applicabile. Le sue condizioni

siano: $p=0$, $L(s)$ taglia 0dB una sola volta dall'alto verso il basso.

→ Se $G(s)$ ha un polo instabile non posso applicare il Crit. Bode perché anche $L(s)$ ha un polo instabile.

3) Precisione statica $e_{ao} = 0$ oppure $e_{ao} < E_{max}$] per valutare dobbiamo necessariamente conoscere y^o , n , d

4) Precisione dinamica e inseguimento del riferimento ("quanto bene segue $y^o(t)$ ") \rightarrow in maniera informale $y(t) \approx y^o(t)$, formalmente verifichiamo: Tasse, oscillazioni, S:

5) Attenuazione del disturbo $\frac{Y}{d} = S = \frac{1}{1+L}$ si considera d come disturbo di ampiezza D e pulsazione w con $w < w_d \rightarrow d(t) = D \sin(wt)$ e si richiede che l'effetto di d su y sia attenuato di un fattore

6) Attenuazione del rumore $\frac{Y}{n} = \frac{L}{1+L} = F$ consideriamo $n = N \sin(wt)$ e che $w > w_n$ (il rumore va ad agire a HF e il disturbo agisce a LF) si richiede che l'effetto di n su y sia attenuato di un fattore

7) Moderazione della variabile di controllo $Q = \frac{R}{1+L}$ vorrei che $|u|$ (che è l'azione di controllo) sia minore di un valore a partire da $w_{u_{max}}$ (non voglio avere una variabile di controllo con componenti troppo elevate: causano vibrazioni dannose il sis o possono avere uno scadente modello e quindi uno scadente sis controllo)

8) A realizzabile: poli \geq zeri (che A non sia improprio).

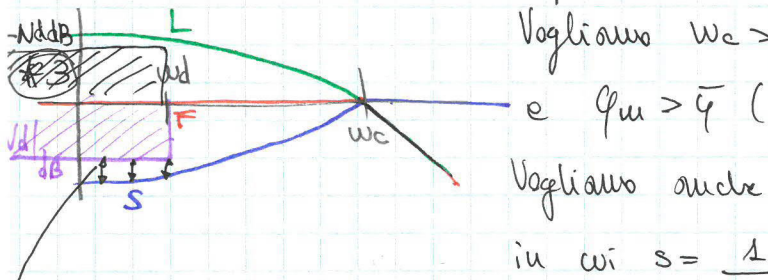
Il 1° e l'ultimo requisito devono essere sempre considerati anche se non sono spesso citati dal testo.

Possiamo cercare di rappresentare i requisiti come vincoli sul diagramma di Bode.

Una rappresentabilità grafica buona è per i requisiti 4, 5, 6, 7.

es: precisione dinamico: $\begin{cases} \text{lass} \\ \text{oscillaz} \\ \text{s:} \end{cases} \xrightarrow{\text{legati alla pulsazione + poli dominanti in quello stesso e dello smorzamento che introducono}} \text{Vogliamo } \omega_c > \bar{\omega}$

traduciamo ① in $\omega = \omega_c$ (pulsaz. critica) e ② in $\zeta \approx \frac{\varphi_m [\text{gradi}]}{100}$. Vediamo



Vogliamo $\omega_c > \bar{\omega}$
e $\varphi_m > \bar{\zeta}$ (a cui è legato ζ)

Vogliamo anche $\omega < \omega_d$ (per il disturbo) $\Rightarrow |S(j\omega)| < N_d$ per $\omega < \omega_d$

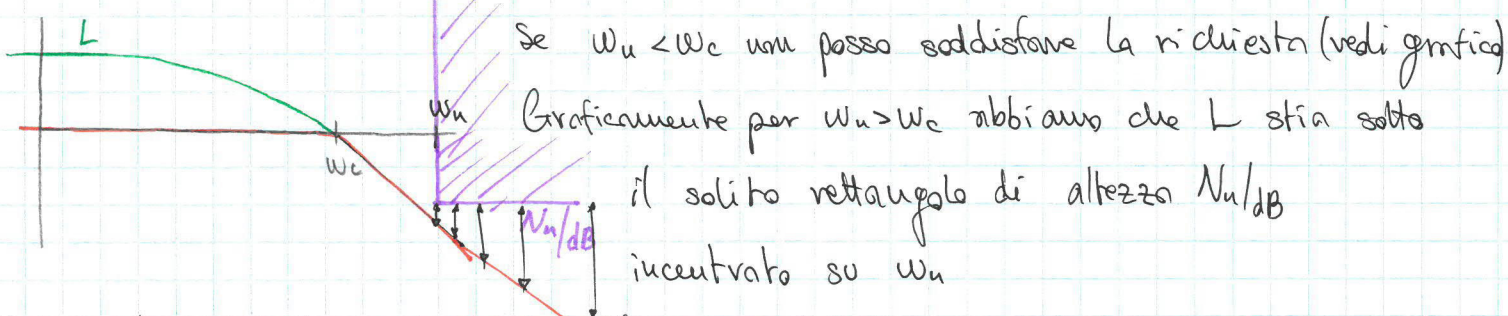
$$\text{in } \omega_i \quad S = \frac{1}{1+L} \quad \text{e} \quad F = \frac{L}{1+L}$$

Voglio che S passi sotto un rettangolo con base da $-\infty$ a ω_d e altezza N_d/dB

Qss: se $\omega_d > \omega_c$ non esisterebbe un modo di soddisfare questo requisito.

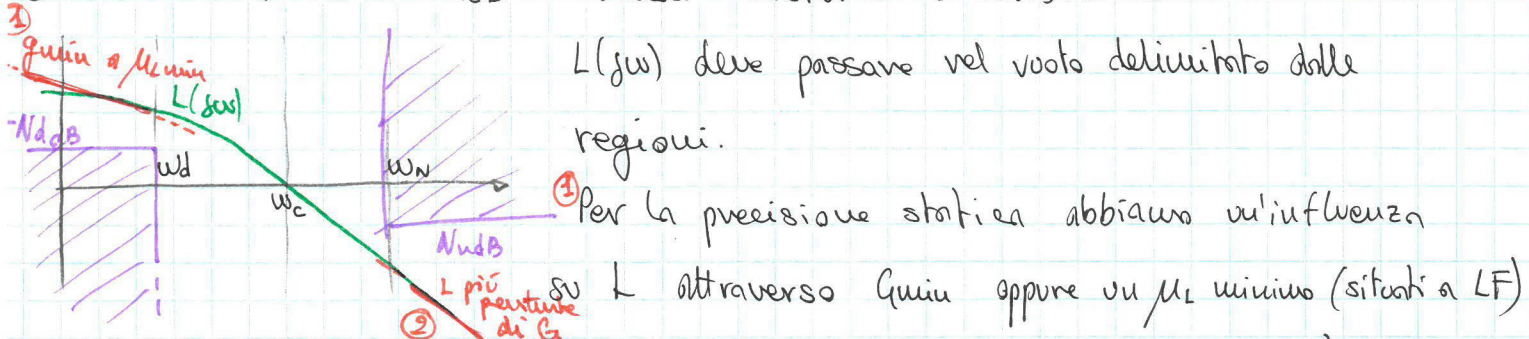
cioè si traduce che L stia sopra un rettangolo (situazione non ben specificata)

Vediamo ora l'attenuazione del rullore ($\omega > \omega_u$)



NB: N_d/dB e N_d/dB sono $< 0 \text{ dB}$ (ovviamente)

Riconducendo L a F , vediamo che L non può passare attraverso la regione stabilità dalla ω_u a N_d/dB . Unendo disturbo e rullore su L :



2 Per la precisione dinamica abbiamo un'influenza

Infine, per avere la ~~realizzabilità~~ realezzabilità come viene tradotta graficamente?

Se abbiamo poli o maggiori o uguali degli zeri, abbiamo all'intuito che L deve essere più pendente di G o ugualmente pendente

φ_m non è rappresentato graficamente $\varphi_m = 180^\circ - |\varphi_c|$ $\varphi_c = \angle [L(j\omega)]$

Perciò:

- 1) Si progetta il modulo
- 2) Si verifica la φ_m attraverso la nostra L condizione.
- 3) Se φ_m non è adeguato, riiprogetto il modulo iterativamente per mettere a posto φ_m .

Progetto di un sistema (nel caso di applicabilità del criterio di Boole)

$$R(s) = \underbrace{\frac{M_R}{S^{gr}}}_{R_{\#1}} \cdot \underbrace{\frac{\prod (1+sT_{R_i})}{\prod (1+sT_{L_i})}}_{R_{\#2}} = R_{\text{STAT}}(s) \cdot R_{\text{DINAM}}(s) \rightarrow \text{Progetto in ordine: } R_1(s) \cdot R_2(s)$$

- 1) Progetto R_1 curandosi solo dei requisiti statici $\rightarrow R_1$ fissato e non più modificabile
- 2) Progetto R_2 " " " " dinamici $\rightarrow R_2$

Nel 1) assumo che il sis sia As in questo modo, verifico ~~poi~~ poi la stabilità solo giungendo al passo 2)

Esercizio

$$G(s) = \frac{10}{(1+10s)(1+30s)(1+100s)} \quad (\text{con costanti: tempo in evidenza})$$

$$\varphi^o = \operatorname{sgn}(t) \quad |d(t)| = 2 \operatorname{sgn}(t) \quad w_c > 0,05 \text{ rad/s} \quad \varphi_m > 35^\circ \quad \operatorname{leal} \leq 0,1$$

Iniziamo con $R_1(s) \rightarrow$ progetto statico:

$$|\operatorname{leal}| = |\operatorname{e}_{y^o}(\infty) + \operatorname{e}_d(\infty)| \quad \text{io so che } |\text{somma}| \leq \text{somma dei moduli} \quad (\text{disug triang})$$

perciò, sapendo che il valore assoluto è sp. non lineare, posso porre la condizione sulla somma dei moduli, mantenendo la linearità

$$|\operatorname{leal}| = |\operatorname{e}_{y^o}(\infty)| + |\operatorname{e}_d(\infty)| \leq 0,1 \quad \text{sapendo che } G(s) = \frac{M_R}{S^{gr}} \cdot \frac{\prod (1+sT_{R_i})}{\prod (1+sT_{L_i})} \xrightarrow{\text{per LF}}$$

$$\operatorname{e}_{y^o}(\infty) = \lim_{s \rightarrow 0} s E(s) = \lim_{s \rightarrow 0} s \cdot \frac{1}{1 + \frac{M_R \cdot M_L}{S^{gr+gg}}} \cdot \frac{1}{s} = \lim_{s \rightarrow 0} \frac{1}{1 + \frac{M_R \cdot 10}{S^{gr}}} =$$

$$= \lim_{s \rightarrow 0} \frac{S^{gr}}{1 + 10/M_R} \quad \begin{cases} \frac{1}{S^{gr+1}} & g_R = 0 \\ 0 & g_R \geq 1 \end{cases}$$

$$\operatorname{e}_d(\infty) = \lim_{s \rightarrow 0} \begin{cases} \frac{2}{1 + 10M_R} & g_R = 0 \\ 0 & g_R \geq 1 \end{cases}$$

Posso fare 2 scelte nel progetto statico $g_R \geq 1 \Rightarrow \operatorname{leal} = 0 < 0,1 \quad \checkmark$

$$g_R = 0 \Rightarrow \operatorname{leal} < \frac{3}{1 + 10/M_R} < 0,1 ?$$

$$\text{Devo verificare che } \frac{3}{10M_R + 1} < 0,1 \text{ per vero} \Rightarrow M_R \geq 2,9$$

nel caso ① setto un tipo positivo e me ne sto alla Mr

Nel caso ② ho grado zero e quindi devo assumere di avere un $Mr \geq 2,9$ che garantisca $|Z_{\text{real}}| < 0$

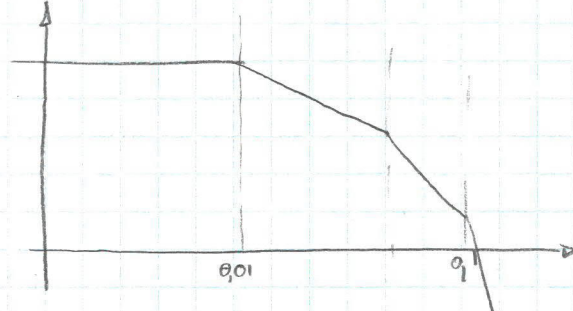
Scegliamo il caso ②, in cui $Mr \geq 2,9$ quindi scelgo per esempio $Mr = 10$

$$R_1(s) = 10$$

$$\text{Progettiamo } R_2(s) = \frac{(1+10s)}{(1+s)}$$

1) Considero $R_2(s) = 1$ e guardo $L(s)$

Vedendo il diag. bode $w_c = 0,15 \text{ rad/s} > 0,05 \text{ rad/s}$
L'aspecifica



calcolo $\varphi_c = \angle L(jw_c) = -40^\circ < 0$ vero in buone

2) Progetto R_2 in termini di sis a fase unita

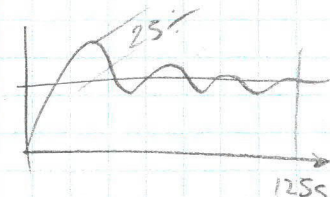
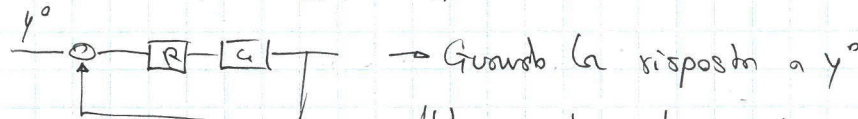
Dopo introdurre dei poli per la realizzabilità, con un polo di 1000 ha pendenza

$$\varphi_c = -\arctg\left(\frac{1000}{0,1}\right) - 2 \arctg(5,0,1) = -89^\circ - 2 \cdot 27^\circ = -143^\circ \approx 0,2 \text{ rad/s}$$

$$\varphi_u = 180 - 143^\circ = 37^\circ > 35^\circ \text{ vero}$$

$$L^*(s) = \frac{100}{(1+100s)(1+5s)^2} = C_1 R = \frac{10}{(1+10s)(1+100s)(1+30s)} \cdot 10 \cdot \frac{\pi(1+5s)}{\pi(1+s)} \rightarrow R_2(s) \Rightarrow$$

$$R_2(s) = \frac{(1+10s)(1+30s)(1+100s)}{(1+100s)(1+5s)^2} \text{ ho cancellato i poli invilivi}$$



Abbiamo due poli complessi conjugati dominanti

$$T_{\text{ass}} = \frac{5}{w_n} \approx 125 \text{ s} \quad w_n = 0,1 \text{ rad/s} \Rightarrow \zeta = 0,37 \quad \Delta\gamma = 100 \text{ e } \sqrt{1-\zeta^2} \approx 25\%$$

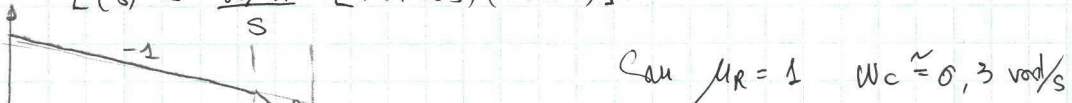
Vediamo invece il caso 1) $R_2(s) = \frac{Mr}{s} \cdot R_1(s)$ $L(s)$ ha $w_c = 0,1 \text{ rad/s}$ con $\varphi_c < 0$

Quindi $\varphi_u < 0 \Rightarrow$ instabile

Se introduco zeri stabili in $L(s) \Rightarrow$ uno zero dà contributo di $+90^\circ$

Poniamo per esempio $R_2(s) = 1 + 100s$ Quindi $R(s) = \frac{Mr}{s} \cdot (1+100s) \rightarrow$

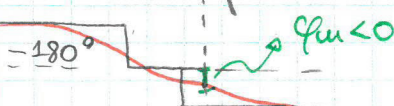
$$\rightarrow L(s) = \frac{10Mr}{s} \cdot [(1+10s)(1+30s)]^{-1}$$



Con $Mr = 1$ $w_c \approx 0,3 \text{ rad/s}$

Abbiamo ancora instabilità $\varphi_u < 0$

talgo un altro polo



$$R_2(s) = (1+100s)(1+30s) \quad L_2(s) = \frac{10\mu R}{s(1+10s)} \quad \text{non è realizzabile (al momento)}$$

Disegniamo il diagramma di Bode e vediamo che $\varphi_m > 0$ un è molto vicino a 0°

Non sto ancora rispettando il requisito di 35°

Dato che con l'unico polo riunito a $0,1$ ottengo $\varphi_m = 45^\circ$, traslo (ω_n/μ)

per spostare W_c a $0,1$ $R(s) = \frac{(1+100s)(1+30s)}{s} \cdot \underbrace{0,01}_{\text{traslazione verso il basso di } 40 \text{ dB}}$

Non è ancora realizzabile tho, aggiungiamo un polo ad HF tipo $(1 + \frac{1}{0,1s})$

$R(s) = \frac{(1+100s)(1+30s)}{s(1+0,1s)}$ ho il controllore realizzabile e ottengo $W_c = 0,1 \frac{\text{rad}}{\text{s}}$ $\varphi_m \approx 45^\circ$

Inconvenienti nella progettazione di W_c ad alte frequenze

Cosa succede se W_c è troppo alta? Abbiamo degli inconvenienti:

- 1) In HF Q ha modello molto alto \rightarrow il controllore ecciterà il sis ad alta frequenza
ciò corrisponde ad eccessive ~~eccitazioni~~^{sull'eccitazione} di tipo meccanico o elettrico
- 2) Stiamo lavorando con dei modelli \rightarrow sono buone approx a LF. Se andiamo a HF potenzialmente il modello utilizzato non è affidabile. es: a LF possiamo ignorare induttanze e capacità parassite. Se usiamo il modello senza parassite in HF, il gioco si complica e rischia di andare ad eccitare risonanze che ci sono ma che non ho considerato nel mio modello.
- 3) Risolto di ritardarlo in quello (es controllore digitale che introduce latenza a causa del ritardo introdotto dal clock) che hanno ~~generalmente~~ zero contributi al modello ma contribuiscono sulla fase con $-W_c \cdot T \cdot \frac{180}{\pi}$, ho la W_c fissa come senza ritardo ma la fase cala ancora di più
- 4) Non abbiamo tenuto conto del rumore di misura HF \rightarrow incertezze.

Trattamento del ritardo in fase di progetto

$$G(s) = \frac{10}{s+1} e^{-0.1s}$$

progettare $R(s)$ con $10\omega < 0,1$ per $\varphi^o = \text{sgn}(t) \cdot 1$

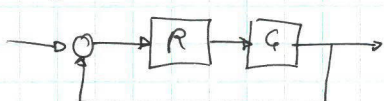
$$\varphi_{\mu} = 75^\circ \Rightarrow T_{AS} = \frac{5}{\omega_u} \quad \Delta\% = 100e^{-\frac{\omega_u}{T_{AS}}} \quad T_{AS} \leq 16,5s \quad \Delta\% \leq 10\%$$

Trovò (equaz $\Delta\%$) con $\Delta\% < 10\% \Rightarrow \zeta \geq 0,55 \Rightarrow \varphi_{\mu} \geq 55^\circ$ circa

Calcolo la ω limite tramite T_{AS} $\omega_c = 0,55 \text{ rad/s}$

Ho tratto T_{AS} e $\Delta\%$ in richiesta ω_c e φ_{μ} utilizzabili per il progetto.

Progetto statico:



$$\text{Considero } R_1 = \frac{\mu_R}{s g_r} \quad \omega_{AS} = \sqrt{\frac{1}{1 + 10 \mu_R}} \quad \text{se } g_r = 0$$

$$\text{Ovvio} \quad \left| \frac{1}{1 + 10 \mu_R} \right| < 0,1 \quad \mu_R > \frac{3}{10} \quad \text{sceglie} \quad \mu_R = 1$$

Progetto dinamico: $\omega_c > 10 \text{ rad/s}$ se non consideriamo il ritardo abbiamo $\varphi_{\mu} \approx 90^\circ$
($180 - 84^\circ$)

inserendo il ritardo (bisogna considerarlo nel calcolo della fase)

$$\varphi_c = -\text{atg}(1 \cdot 10) - \angle e^{-0.1j\omega} = -\text{atg}(10) - 10 \cdot 0,1 \cdot 180/\pi = -84^\circ - 57^\circ \approx -141^\circ$$

→ punto su piano complesso al modul o uguale a fase $0,1\omega$

$$\varphi_{\mu} = 180 - 141^\circ = 39^\circ < 55^\circ$$

desiderati → non va bene

Guardiamo solo il ritardo $\varphi_c = -\omega_c \cdot 0,1 \cdot \frac{180}{\pi} \quad \varphi_{\mu} \geq 60^\circ$

Se $\varphi_c > -120^\circ \quad -\omega_c \cdot 0,1 \cdot \frac{180}{\pi} > -120^\circ \quad \underline{\omega_c < 21 \text{ rad/s}}$ → Abbiamo un vincolo legato dal ritardo

Se prima potevamo raggiungere qualsiasi ω_c , ora, a causa del ritardo, abbiamo una limitazione di ω_c a meno che non venga trattato il ritardo in altri modi.

L'unica speranza di modifica per controllori del generatore è la riduzione della banda passante.

Per esempio posso progettare $R_2(s)$ per cancellare il polo che causa $\omega_c = 10 \text{ rad/s}$ e sostit. con un polo a più bassa frequenza → contributo minore del ritardo.

$$R_2(s) = \frac{s+1}{1+10s} \rightarrow \text{Abbiamo il nuovo polo, ottenendo } \omega_c = 1 \text{ rad/s} \quad (\text{un decade dopo})$$

Il contributo del polo sarà sempre circa -84° (piano sempre una decade dopo)

$$\varphi_{\mu} = \cancel{-84^\circ} - 0,1 \cdot 1 \cdot \frac{180^\circ}{\pi} \cancel{- 57^\circ} \rightarrow \varphi_{\mu} = 180^\circ - 91^\circ = 89^\circ > 55^\circ$$

$$\underline{\text{es}} \quad G(s) = \frac{s-s}{s+10s} \quad R = \frac{10}{s} \cdot \frac{1}{(s-1)} \quad L = \frac{10}{s(1+10s)}$$

R ha un polo instabile perché faccio una cancellazione critica

$$Q = \frac{R}{1+RG} = \frac{10}{s} \cdot \frac{1}{(1-s)} \cdot \frac{s(10s+1)}{10s^2+8+10} \quad \text{no Riemann pole! prob unstable}$$

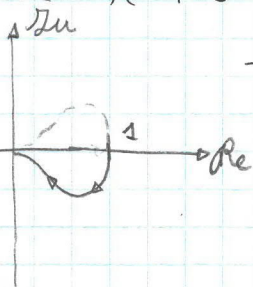
Ho un polo instabile in ambo → NIENTE BODE

\Rightarrow Non si possono cancellare singolarità instabili

- Se la singol. è uva zero \Rightarrow "ci progetto intorno" \rightarrow vivaio aggiuntivo nella L
 - Se " " " " = pol \Rightarrow devo usare Nyquist

es :

$$C(s) = \frac{1}{(s+1)(-0.1s+1)} \quad \text{pole in } -1(\text{stable}), 10 (\text{unstable})$$



→ Sicuramente non posso stabilizzare

caso $R = 1 \rightarrow n \neq p \Rightarrow$ non è stabile

- $R = K$: se $K > 0$ non può stabilizzarla

Se $K \neq 0$ vedi corollario criterio Nyquist \rightarrow conta i giri intorno a -1 , uno più a -1

$C_{80} \quad -1 < K < 0 \rightarrow$ no stable

Caso $K < -1$ → gestis il diagramma oltre il pta 1

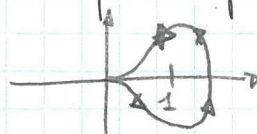
Faccio -1 giri attorno al pto 1, ma $-1 \neq 1$ \rightarrow No simb.

Non ho modo di stabilizzare l'anello chiuso con solo K

Se invertissi i giri passando da $-s$ a s , avrei stabilità. Manipolo la fase per far avvenire ciò, manipolando il polo stabile

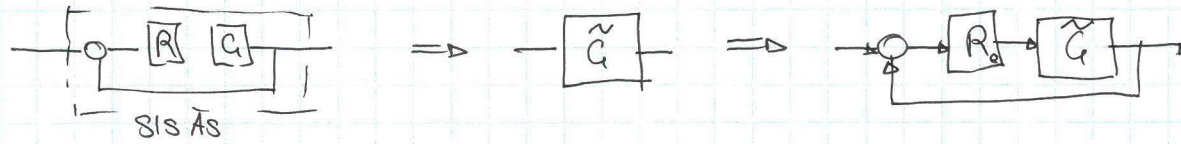
$$R(s) = -2 \frac{(s+1)}{(1+0,04s)} \begin{array}{l} \text{no cancellazione} \\ \text{unmette la condizione } K < -1 \\ \text{sposto il polo a più alto} \end{array}$$

$$L(s) = \frac{2}{(-0.1s+1)(1+0.02s)}$$



$n = p$ $\lambda = 1 \Rightarrow$ sis stabilizzato

Piaceva a gravitare solo la stabilità con Nyquist. Come faccio a voler avere delle buone prestazioni? O allora voglio ottenere prestazioni specifiche



Metto una nuova retroazione perché so che \tilde{G} è A.S.

Controllori PID

Sono controllori in commercio già realizzati.

PID = proporzionale, integrale, derivativo. $U = U_p + U_I + U_D$

$U_p = K_p \cdot e$ azione proporzionale all'errore (no poli/zeri)

$$U_I = K_I \int_0^t e(\tau) d\tau \quad \text{dominio nel tempo, che ce ne facciamo?}$$

$$U_D = K_D \frac{de}{dt}$$

Trasformiamo nel dominio delle frequenze $\xrightarrow{C} R \xrightarrow{U}$

$$\frac{U(s)}{E(s)} = K_p + K_I \cdot \frac{1}{s} + s K_D = \frac{s K_p + K_I + K_D s^2}{s} = \frac{K_D s^2 + K_p s + K_I}{s}$$

PID IDEALE NON REALIZZABILE

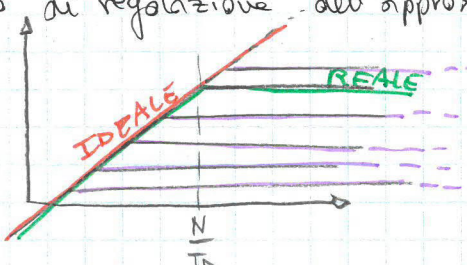
Perché a rigore non posso calcolare la derivata di un segnale (ho bisogno del suo futuro). La derivata a rigore è anticipatrice. Posso implementare un PID reale aggiungendo un polo HF $R_{PID}(s) = K_p \left(1 + \frac{1}{s T_I} + \frac{s T_D}{1 + T_D \cdot s} \right)$

Ho una diversa parametrizzazione di K_D e K_I

$$T_I = \frac{K_p}{K_I} \quad T_D = \frac{K_D}{K_p} \quad \text{In ambito industriale si trovano entrambe le parametrizzazioni}$$

N = parametro aggiuntivo di regolazione dell'approssimazione derivativa

• Derivativa $\frac{s T_D}{1 + \frac{T_D \cdot s}{N}}$

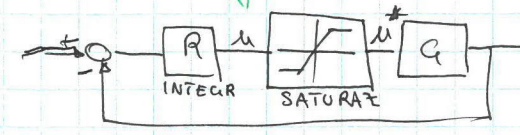


N mi dà l'idea approssimativa di quanto l'approssimazione sia ad alta frequenza.

Posso ~~ricaudarci~~ ricaudrmi alla taratura del PID se so che durante il progetto di R so di poter usare solo due zeri, un polo nell'origine e uno spostato.

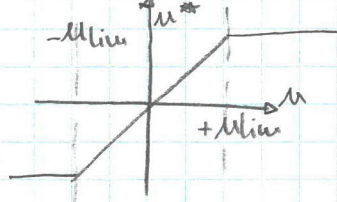
Carica integrale

Se integro (aumento il valore di u troppo) e arrivo alla saturazione, non ho più controllo sopra la saturazione.



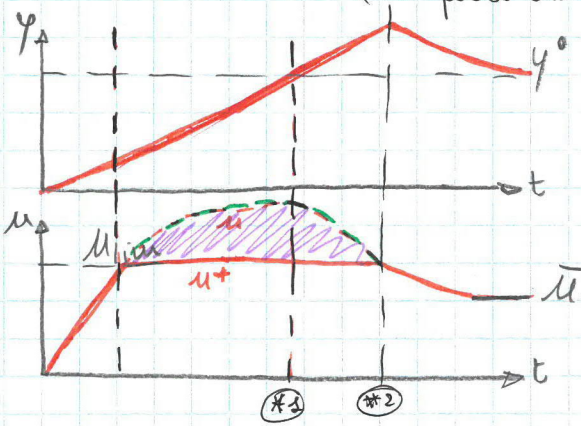
Entro più del massimo poss.
Entro ~~per tempo~~ → blocco unitario

es: limitazioni nell'aumentare la coppia di un



Dentro Minuti → blocco unitario

Fuori Minuti → saturazione
(non posso dare più di tot al blocco di controllo)



Consideriamo ora un regolatore di tipo integrale

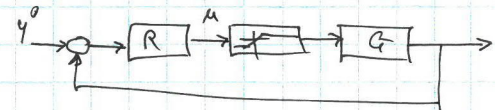
$$R(s) = \frac{K_I}{s}$$

①: l'uscita supera il valore assegnato y^* , ma il controllore è già saturo da un po'. Ci vuole un po' di tempo prima che esso torni giù ②

L'area blu è la carica integrale, ha un variabile di controllo che cresce con quella reale riunite fissa. È come se avessi aperto l'anello. Il feedback introduce un peggioramento delle prestazioni non rappresentabile con il diag Bode. Se va male, rischia anche l'instabilità invece che la diminuzione delle prestazioni.

Controllori PID (anti wind-up)

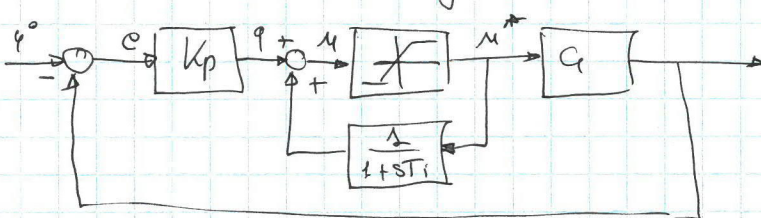
- carica integrale < il controllore ha azione integrale
l'attuatore ha saturazione



Come risolviamo questo problema guardando i PID?

La parte derivativa una soffre della carica integrale

$$R_{PI} = K_P \left(1 + \frac{1}{sT_i} \right)$$

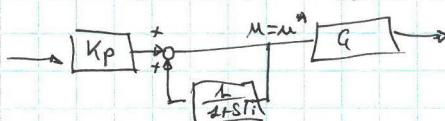


Questa è un'azione proporzionale integrale con antiwindup

Dobbiamo convincerci che esso funzioni come da specifica quando u è in sat ①

e dobbiamo convincere che risolva il discorso della saturazione ②

$$\textcircled{1} \quad U_{\min} \leq u \leq U_{\max}$$



$$\frac{R_E(s)}{E(s)} = K_P \cdot \frac{1}{1 + \frac{1}{sT_i}} = K_P \cdot \frac{sT_i}{s + sT_i}$$

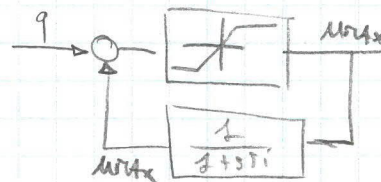
$$= K_P \cdot \frac{1 + sT_i}{sT_i}$$

→ è uguale a $R_{PI} = K_P \left(1 + \frac{1}{sT_i} \right)$ ✓ funziona normalmente

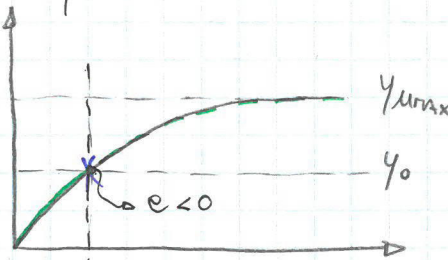
② Abbiamo ora invece ~~$u = u_{max}$~~ $u = u_{max}$ perché $e > 0$ per molto tempo

Abbiamo un punto in cui $e < 0$

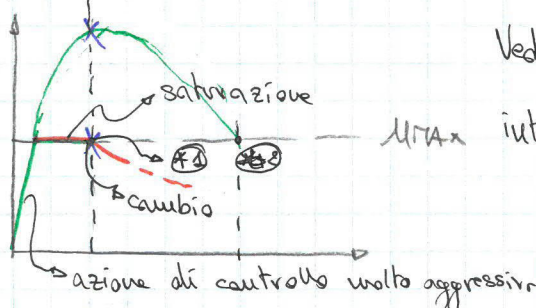
Allora $q < 0$ che ~~è~~ si somma a u_{max} . Ottengo $u = u_{max} + q \xrightarrow{< 0}$



Che giunto causa $u < u_{max} \rightarrow$ mi ricordo al caso senza saturazione



(e cambia segno perché ho una y maggiore di quella che vorrei del riferimento)

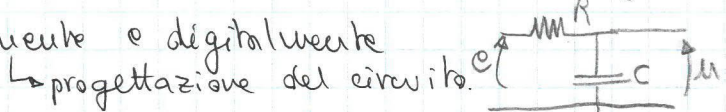


Vediamo che ① è molto più rapido di ② ed interverrà. L'antiwindup interviene prima

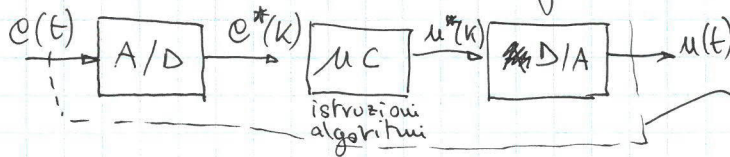
Realizzazione digitale

Partiamo dall'Hp di avere già risolto la FdI $R(s)$, come lo costruisco digitalmente?

Possiamo generalmente realizzarlo analogicamente e digitalmente



Vediamo la realizzazione digitale (molto versatile)



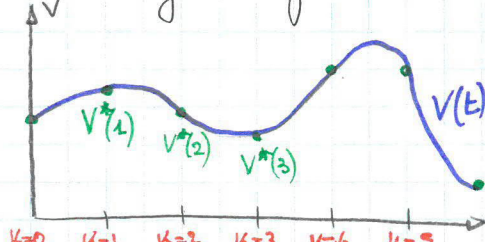
Voglio che tutto ciò si comporti come un $\sim R(s)$. Posso cambiare molto facilmente i parametri (cosa che è difficile analogicamente)

Sto lavorando digitalmente \rightarrow tempo discreto $\rightarrow R(\text{digitale}) \sim R(s)$ vera e propria

Campionatore

$V(t) \rightarrow$ segnale generico

$$V^*(k) = V(t_k) \text{ dove } t_k = t_0 + kT \text{ in cui } k = 0, 1, 2, \dots$$

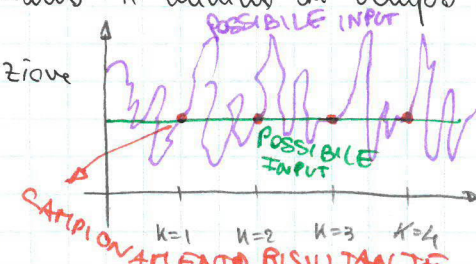


$$t_0, t_0+T, t_0+2T, t_0+3T, t_0+4T$$

Vediamo che cosa è detto che il campionamento sia fedele

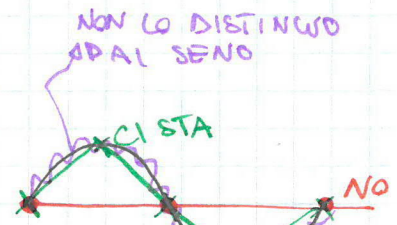
Vediamo che cosa è detto che il campionamento sia fedele

Va bene il tempo T ? Vediamo il minimo di tempo per avere una rappresentazione affidabile di $V(t)$



Sappiamo che possiamo rappresentare $V(t)$ tramite Fourier

$$V(t) = \frac{1}{\pi} \int_{-\infty}^{\infty} |V(jw)| \sin(wt + \angle V(jw)) dw \quad \Rightarrow \text{tutti segni}$$



Se prendo $V(t) = \sin t$ che frequenza dovo avere per distinguere

da un segnale costante? Con frequenza di campionamento

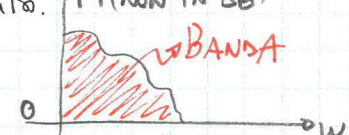
corrispondente al mezzo periodo, distinguo il seno dal segnale costante (ma non lo distinguo con pulsazioni più elevate)

Dato un pulsaz massim ω_{MAX} , se $T < \frac{\pi}{\omega_{MAX}}$ \Rightarrow non perdo informazioni

Teorema di Shannon

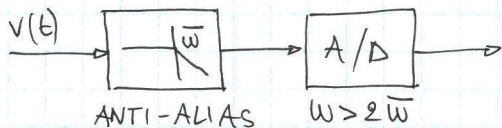
Dato un segnale $v(t)$ a banda limitata da ω_{MAX} , esso è ricostruibile univocamente dalla sua versione campionata $V(k) = V(t_k)$ se $\omega_N > \omega_{MAX}$ dove $\omega_N = \frac{1}{2} \omega_s$ (pulsazione di Shannon)

In cui $\omega_s = \text{pulsazione di sampling} = \frac{2\pi}{T}$ tempo di campionamento. $\uparrow \uparrow \text{(Non in dB)}$
(Oss: ω_N è anche detta pulsazione di Nyquist)



In realtà ho sempre rumore HF quindi $\omega > \omega_{MAX} \Rightarrow$ USO FILTRO ANTI ALIAS

Se $V(t)$ non è quindi a banda limitata, è necessario introdurre il filtro anti alias.



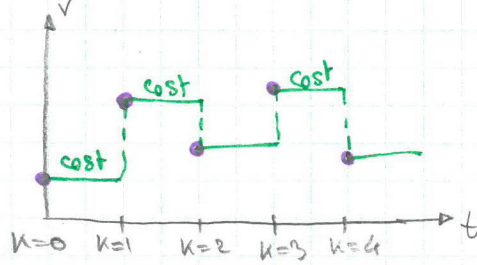
Se bypasso MC e oh A/D riconverto D/A, se rispetta Shannon, mi ritrovo in uscita un segnale fedele all'entrata.

Decampionatore ideale

$V(t) = \sum_{k=-\infty}^{+\infty} V(k) \frac{\sin(\omega_N t - k\pi)}{\omega_N t - k\pi}$ per l'idealtà, ho bisogno di valori passati e futuri (tralasciando l'impossibilità di $-\infty$ e $+\infty$ perché sono questi indici di passato futuro). Questo è nel caso del tempo reale. Se volessi convertire un file audio so perfettamente i campioni passati e futuri nel file.

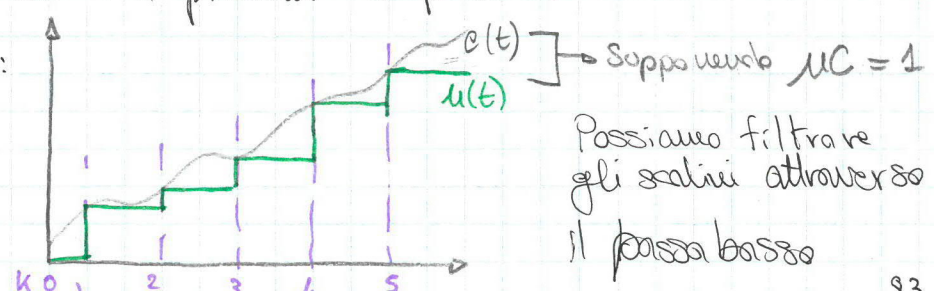
Per azioni di controllo quindi il decampionatore ideale non è realizzabile,

uso il mantenitore di ordine zero: mantiengo il segnale costante fino a che

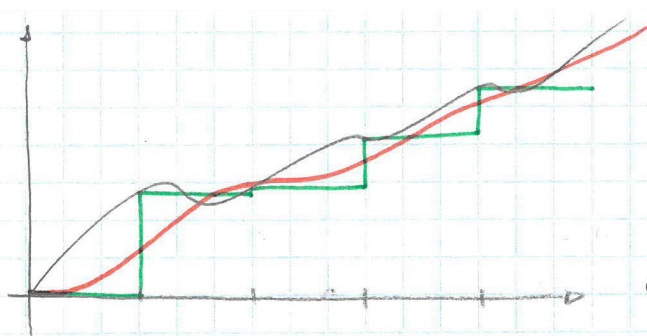


non arriva il prossimo campionatore

es:



Possiamo filtrare gli scalini attraverso
il passa basso



Vediamo che l'uscita filtrata rispetto all'ingresso risulta ritardata. Ho infatti un ritardo di mezzo periodo di campionamento dovuto al fatto che uno so passato / futuro.

Di conseguenza ho un ritardo in ambo \Rightarrow diminuzione di margine di fase
Dove tenere conto del ritardo in ambo nella progettazione del controllore.

Il controllore è una serie di istruzioni che calcolano $u^*(k)$ a partire da $c^*(k)$

$$c^*(k) \xrightarrow{\text{SCATOLA RAGIONE}} u^*(k) \rightarrow \text{Questi sono sis a tempo discreto.}$$

Rappresentazione per sis a t. discreto

$$\begin{cases} x(k+1) = Ax(k) + Bu(k) \\ y(k) = Cx(k) + Du(k) \end{cases} \rightarrow \text{movimento libero e movimento forzato}$$

Il movimento libero ha l'equivalente di Lagrange calcolabile iterativamente

$$u(k) = 0 \quad x(0) \neq 0$$

$$\begin{aligned} x(0) &= x_0 \\ x(1) &= Ax_0 \\ x(2) &= Ax_1 = A^2x_0 \\ x(3) &= Ax_2 = A^3x_0 \end{aligned} \quad \rightarrow x_L(k) = A^k x_0$$

Movimento forzato

$$x(0) = 0 \quad u(k) \neq 0$$

$$x(1) = Ax_0 + Bu_0 = B_u_0$$

$$x(2) = Ax_1 + Bu_1 = ABu_0 + Bu_1$$

$$x(3) = Ax_2 + Bu_2 = A^2Bu_0 + ABu_1 + Bu_2$$

$$x_F(k) = \sum_{h=0}^{k-1} A^{k-h} B u(h)$$

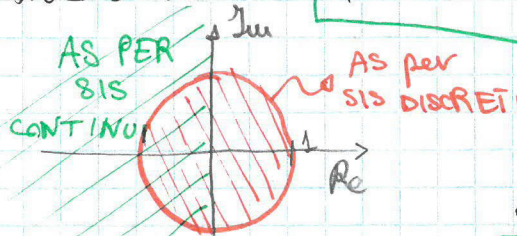
Vale comunque la sovrapposizione delle cause e degli effetti

Dati x_L e x_F possiamo ricavare le condizioni di stabilità:

$$\text{es } x(k+1) = \alpha x(k) \rightarrow \text{esso scalare } x_L(k) = \alpha^k x_0$$

prendo $|\alpha| < 1$ per avere convergenza

CONDIZ AS: $\text{AS} \Leftrightarrow \forall \lambda \lambda \text{ è autovettore di } A$ quindi



Basta $A: |\lambda_i| \leq 1$ e $\forall \lambda_i: |\lambda_i| = 1 \Rightarrow \mu_R(\lambda_i) = \mu_A(\lambda_i)$

SEMPLICE STABILITÀ

Trasformata Zeta

Def: sia dato $v(k) = \{v(0), v(1), v(2), v(3), \dots\}$ la sua trasformata zeta è

$$V(z) = v(0) + v(1)z^{-1} + v(2)z^{-2} + \dots = \sum_{k=0}^{\infty} v(k)z^{-k} \text{ con } z \in \mathbb{C}$$

Impulso a tempo discreto

$$i_{\text{imp}}(k) = \begin{cases} 1 & \text{per } k=0 \\ 0 & \text{per } k \neq 0 \end{cases}$$

$$\mathcal{Z}[i_{\text{imp}}(k)] = 1 + 0z^{-1} + 0 \cdot z^{-2} + 0 \cdot z^{-3} = 1$$

- Esponenziale a TD

$$v(k) = a^k \quad \mathcal{Z}[a^k] = 1 + a z^{-1} + a^2 z^{-2} + a^3 z^{-3} = \sum_{k=0}^{\infty} (az^{-1})^k$$

La serie geometrica converge a $\frac{1}{1-az^{-1}} = \frac{z}{z-a}$ se $|z| > a$

La serie geometrica converge a $\frac{1}{1-az^{-1}} = \frac{z}{z-a}$ se $|z| > a$ è la serie geometrica equivalente dell'asse di convergenza del caso continuo (vedi trasformata Laplace)

è simile nel caso continuo $v(t) = e^{at} \xrightarrow{\mathcal{L}} \frac{1}{s-a}$

- Scalino a TD

$$sca(k) = \begin{cases} 1 & \text{per } k > 0 \\ 0 & \text{per } k \leq 0 \end{cases} \rightarrow \text{è equivalente a un exp discreto in cui } a=1$$

$$\mathcal{Z}[sca(k)] = V(z) = \frac{1}{1-z^{-1}} = \frac{z}{z-1}$$

PROPRIETÀ TRASFORMATA ZETA

1) Linearità $v(k) = \alpha v_1(k) + \beta v_2(k) \rightarrow V(z) = \alpha V_1(z) + \beta V_2(z)$

2) Anticipo $V_2(k) = v_1(k+1) \quad \nabla_2(z) = z[V_1(z) - v_1(0)]$

3) Ritardo $V_2(k) = v_1(k-1) \quad \nabla_2(z) = z^{-1}[V_1(z)]$

es $\nabla_2(k) = v_1(k+1)$ (Δ in anticipo)

$$\begin{aligned} V_2(z) &= v_1(0) + v_1(1)z^{-1} + v_1(2)z^{-2} + \dots = v_1(1) + v_1(2)z^{-1} + v_1(3)z^{-2} + \dots = \\ &= (v_1(1)z^{-1} + v_1(2)z^{-2})z + v_1(0)z - v_1(0)z \\ &= (\nabla_1(z) - v_1(0))z \end{aligned}$$

$\Rightarrow z$ operatore di anticipazione

es Ritardo è come l'anticipo un "rigirato" $\rightarrow z^{-1}$ operatore di ritardo

$$x(k+1) = Ax(k) + Bu(k) \quad \mathcal{Z}[x(k+1)] = z[x(z) - x(0)] = Ax(z) + Bu(z) \rightarrow$$

$$y(k) = Cx(k) + Du(k) \quad \rightarrow (zI - A)x(z) - Ax(z) = Bu(z) \rightarrow$$

$$\mathcal{Z}[x(k+1)] = (x(z) - x(0))z \quad \rightarrow (zI - A)x(z) = Bu(z) + zx(0) \rightarrow$$

$$\rightarrow x(z) = (zI - A)^{-1}Bu(z) + (zI - A)^{-1}z^x(0)$$

$$\Rightarrow y(z) = [(zI - A)^{-1}B + D]u(z)$$

considera $x(0)$
se null
ottengo \Rightarrow

possiamo vedere in ultimis punti che $y(z) = C(z) \cdot u(z)$ in cui $C(z)$ è la FdT del sistema a T.D. Vediamo il parallelismo con il tempo continuo.

$C(z) = C(sI - A)^{-1}B + D$ Anche nel TD $C(z)$ è possibile scrivibile come $\frac{N(z)}{D(z)}$

Vale lo stesso ragionamento per poli e zeri.

$$y(z) = C(z) u(z)$$

$$\frac{C(z)}{D(z)} = \frac{N(z)}{D(z)} = \frac{b_m z^m + b_{m-1} z^{m-1} + \dots + b_0}{z^m + a_{m-1} z^{m-1} + \dots + a_0} \quad y(z) D(z) = N(z) u(z) \rightarrow$$

$$\rightarrow (z^m + a_{m-1} z^{m-1} + \dots + a_0) y(z) = (b_m z^m + b_{m-1} z^{m-1} + \dots + b_0) \cdot u(z)$$

$$y(z) \cdot z^m + y(z) \cdot a_{m-1} z^{m-1} + \dots = \underbrace{b_m z^m + b_{m-1} z^{m-1}}_{\text{segnaletto trascritto nel dominio del tempo di un passo}} + \dots \rightarrow \text{antitrasformazione}$$

$$y(z) z^m \xrightarrow{\mathcal{Z}^{-1}} y(K+u) \quad \left[\text{segnaletto trascritto nel dominio del tempo di un passo} \right]$$

$$u(z) z^m \xrightarrow{\mathcal{Z}^{-1}} u(K+u) \quad \rightarrow \text{sfrutta la linearità della trasformata}$$

$$y(K+u) + a_{m-1} y(K+u-1) + \dots = b_m u(K+u) + b_{m-1} u(K+u-1) + \dots$$

$$y(K+u) = -a_{m-1} y(K+u-1) + \dots + b_m u(K+u) + b_{m-1} u(K+u-1) + \dots \rightarrow$$

→ questa rappresentazione è detta equazione alle differenze

(che è una eq differenziabile nel caso di sis tempo continuo)

I valori all'istante precedente dipendono dai valori passati:

Questa eq è sia la def del sis, sia l'algoritmo di calcolo del sis (grazie ai valori passati posso calcolare i valori successivi da buttare fuori)

es

$$C(z) = \frac{z+3}{z^2 + 0,5z + 1} = \frac{y(z)}{u(z)}$$

$$y(z) \cdot (z^2 - 0,5z + 1) = u(z)(z+3) \quad z^2(y(z)) - 0,5z(y(z)) + y(z) = z u(z) + 3 u(z) \xrightarrow{\mathcal{Z}^{-1}}$$

$$y(K+2) - 0,5(y(K+1)) + y(K) = u(K+1) + 3 u(K) \quad \text{traslo l'asse del tempo di 1 passo}$$

$$y(K+1) - 0,5 y(K) + y(K-1) = u(K) + 3 u(K-1)$$

Se sono all'istante K , il prossimo valore dell'uscita è:

$$y(K+1) = 0,5 y(K) - y(K-1) + u(K) + 3 u(K-1)$$

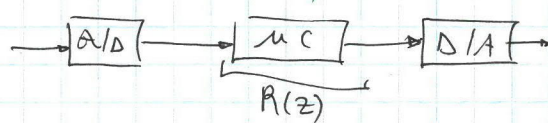
Implementiamo lo pseudocodice:

while (s) {

- read u
- $y_{\text{new}} = 0,5y - y_{\text{old}} + u + 3u_{\text{old}}$
- $y_{\text{old}} = y$
- $y = y_{\text{new}}$
- $u_{\text{old}} = u$

}

Scelta di $R(z)$



$R(z) = ?$ progetto digitale
progetto $R(s)$ continuo e dopo
discretizzato in $R(z)$

Nel 2° caso uno vissi reuso una ad avere $R(z) \approx R(s)$ per a causa del ritardo
introdotto da campionatori e smutentori

Discretizzazione

$$u \xrightarrow{\frac{1}{s}} y \quad y(t) = \int_0^t u(\tau) d\tau \quad \text{voglio un } R(z) \text{ tc } y^*(K T_s) \approx y(K T_s)$$

$$y^*(k) = y^*(k-1) + \bar{u}(k) T_s$$

Se $\bar{u}(k) = \text{valore medio di } u(t) \text{ con}$

$t \in [(k-1)T_s, kT_s]$ però, per avere abbiano definito il smutentore zero

$$y^*(k) = y^*(k-1) + \tilde{u}(k) T_s \text{ in cui } \tilde{u}(k) = (1-\alpha)u^*(k-1) + \alpha u^*(k) \text{ in cui } 0 \leq \alpha \leq 1$$

Definisco il valore come una combinazione lineare dei due valori. In base ad α :

① $\alpha = 0 \quad \tilde{u}(k) = u^*(k-1) \rightarrow \text{Eulero in avanti o esplicito}$

② $\alpha = 1 \quad \tilde{u}(k) = u^*(k) \rightarrow \text{Eulero indietro o implicito}$

③ $\alpha = \frac{1}{2} \quad \tilde{u}(k) = \frac{u^*(k-1) + u^*(k)}{2} \rightarrow \text{faccio un approx trapezoidale} \rightarrow \text{Tustin}$

$$y(z) = z^{-1} y(z) + T_s (z^{-1} (1-\alpha) u(z) + \alpha u(z)) \quad \left. \right] \rightarrow \text{possiamo scrivere un FdT}$$

$$\frac{y(z)}{u(z)} = T_s \frac{\alpha z + (1-\alpha)}{z-1} = T_s \frac{\alpha + (1-\alpha) z^{-1}}{(1-z^{-1})}$$

$$\frac{1}{s} \longrightarrow T_s \frac{\alpha + (1-\alpha) z^{-1}}{(1-z^{-1})}$$

tempo continuo tempo discreto

Possiamo ricavare un derivatore invertendo con il reciproco:

$$S \rightarrow \frac{z-1}{Ts(\alpha z + (1-\alpha))} \Rightarrow \text{trasformazione bilineare}$$

Permette di trasformare la variabile s nella variabile z

Perciò dato $R(s) \rightarrow R(z) = R \left(\frac{z-1}{Ts(\alpha z + (1-\alpha))} \right)$

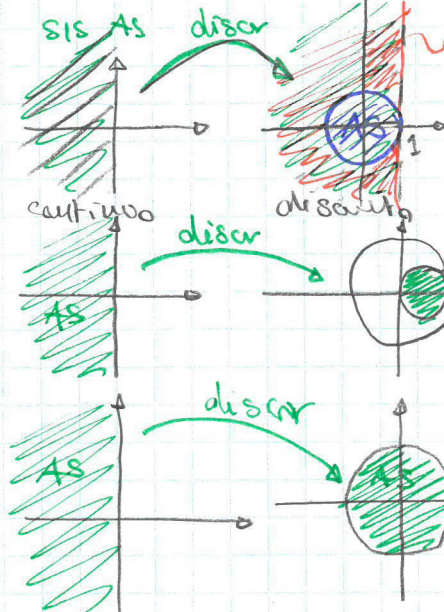
Abbiamo le proprietà della discretizzazione

- Se $R(s)$ è razionale, $R(z)$ è razionale (se parto da LTI arrivo a ~~LTI~~ $\xrightarrow{\text{discretizzazione}} s \in \mathbb{S}$ in αT_D)
- Se $R(s)$ è propria (di ordine n) $\Rightarrow R(z)$ è propria di ordine n purché $R(s)$ non abbia poli esattamente in $\bar{s} = \frac{1}{\alpha Ts}$
- $R(s)$ con singolarità in \bar{s} $\xrightarrow{\text{discretizzazione}} R(z)$ ha singolarità in $\bar{z} = \frac{1 + (1-\alpha)Ts \cdot \bar{s}}{1 + \alpha Ts \cdot \bar{s}}$ una reale
- Zeri di campionamento: La discretizzazione ha il potere di creare zeri aggiuntivi (vedi la $s \rightarrow \frac{z^n - 1}{p^n}$) un poli aggiuntivi

- La mappatura è 1:1 per i poli \Rightarrow condizioni di stabilità
- (tot poli in s \Rightarrow tot poli discretizzati) senza poli in più

- caso Euler in avanti $\alpha=0$
 $\xrightarrow{\text{discretizzazione}}$ i poli vengono spostati i poli
- caso Euler indietro $\alpha=1$

- caso Tustin $\alpha=0,5$



Con questo caso rischia di non conservare la stabilità portando da un sis AS nel continuo

mentre una mappatura è nella cfr di raggio 0,5 centrata in 0,5

La mappatura arriverà in tutta la cfr di raggio 1

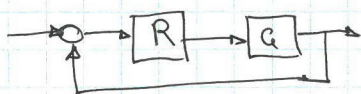
Solo con Euler in avanti devo verificare di mantenere la stabilità, negli altri casi la stabilità viene automaticamente mantenuta.

Ora parto da $R(s)$ che soddisfa i requisiti, ~~scegliere~~ possiamo tenere conto di:

1) Scelta del tempo di campionamento 3) Calcolo dei ritardi aggiuntivi

2) Discretizzazione di $R(s)$

1) Dovrò soddisfare ~~l'equazione~~ trovando la W_{MAX} necessaria



Dovrò normalmente scegliere $W_s \geq W_c$ (ideale)

In pratica si sceglie $W_s > 10 W_c$ con anche $W_s < 50 W_c$

Non è da esagerare con la pulsaz MAX per motivi di: costo, mi basta un piccolo errore di conteggio per avere casini se ho T_s piccolo (posso rischiare di uscire dalla cfr 1 a causa di incertezze), se prendo W_s intelligentemente sto abbondantemente all'interno della cfr

~~2) fai 2) Decido Eulero avanti/indietro /Tustin e mantenere A_s~~

3) $\hat{f}_m = f_m - W_c \frac{T_s}{2} \cdot \frac{180}{\pi}$ perdita di fase dovuta al campionamento

Dobbiamo aggiungere anche $(-W_c \frac{T_{CALC}}{T} \cdot 180 - \angle [Filtro anti-alias])$
per precisione, questa \rightarrow tempo di rec per i conti
aggiunta viene però trascurata.

CS discretizzazione con Tustin

$$\begin{aligned} C(s) &= \frac{1}{s^2 - 4s + 3} & s &= \frac{2}{T_s} \cdot \frac{z-1}{z+1} & C(z) &= \frac{1}{\frac{4}{(T_s)^2} \frac{(z-1)^2}{(z+1)^2} - 8 \frac{z-1}{z+1} + 3} = \\ &= \frac{T_s^2 (z^2 + 2z + 1)}{4z^2 - 8z + 4 - 8T_s z + 8T_s + 3T_s^2 (z^2 + 2z + 1)} & & & & \text{zeri di campionamento} \\ &= \frac{T_s^2 (z^2 + 2z + 1)}{z^2 (4 \cdot 8T_s + 3T_s^2) + (6T_s^2 - 8) z + 4 + 8T_s + 3T_s^2} \end{aligned}$$